

**FIG. 1**

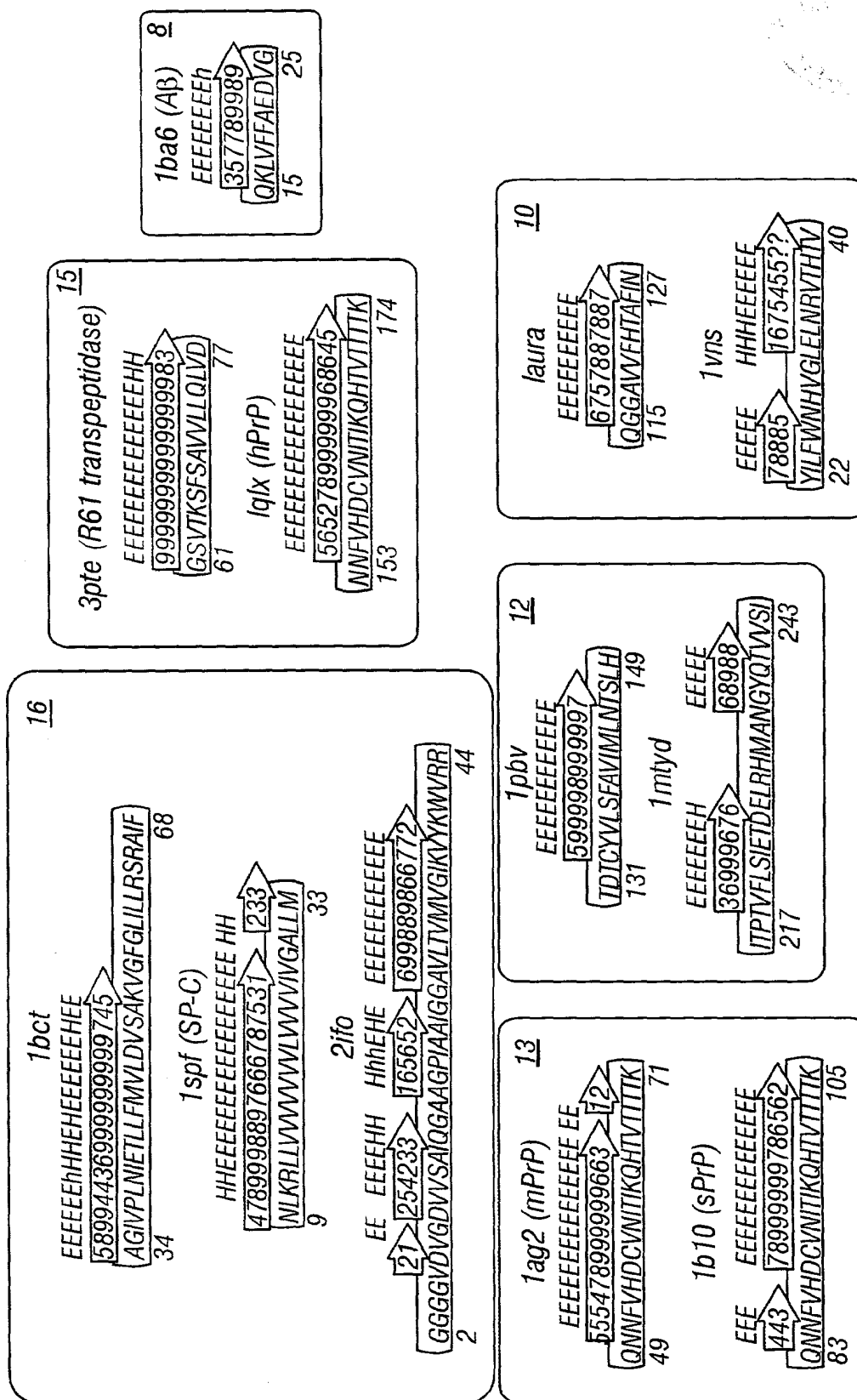
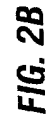


FIG. 2A

209740 2488860



HHHHHHHHHHHHHHHHHHHHHHHHHHHHHH  
789999999999999999999999885  
NLKRLLLLLLLLLLLLLLLILGALLM 33

**FIG. 3**

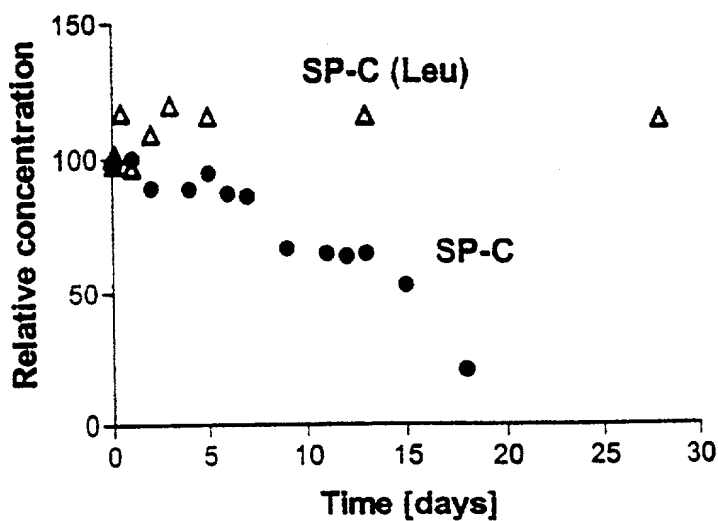


FIG. 4

A $\beta$ (1-28)

EEEEEEEE

36689976

QKLVFFAEDVG

15

25

A $\beta$ (1-28) (K16A, L17A, F20A)

HHHHHHH

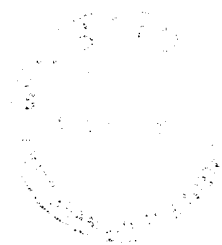
7664224

QAAVFAAEDVG

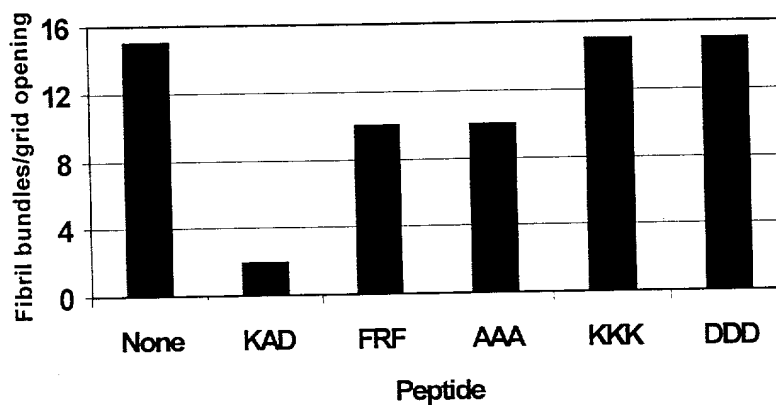
15

25

FIG. 5

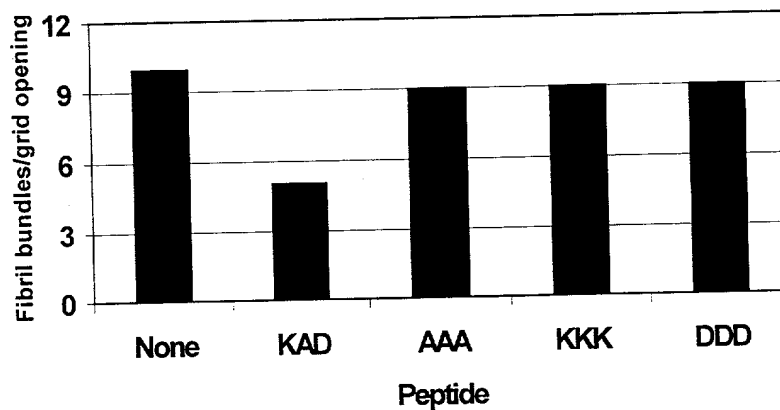


**Abeta(14-23)**



**FIG. 6A**

**Abeta(12-24)**



**FIG. 6B**

09888860

Abeta(1-40)

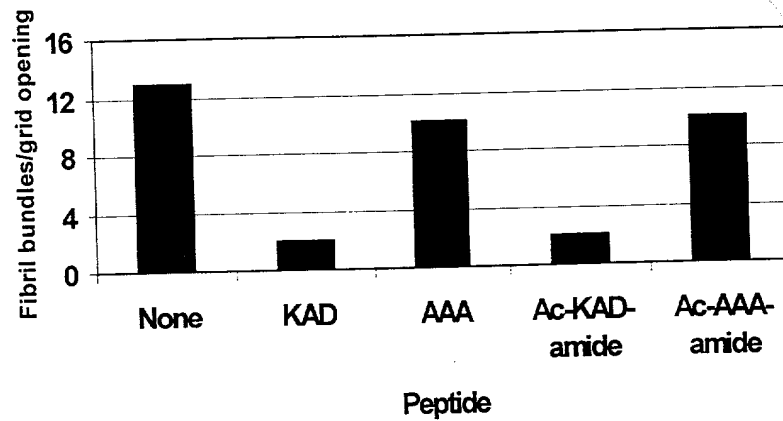


FIG. 6C

Abeta(14-23)

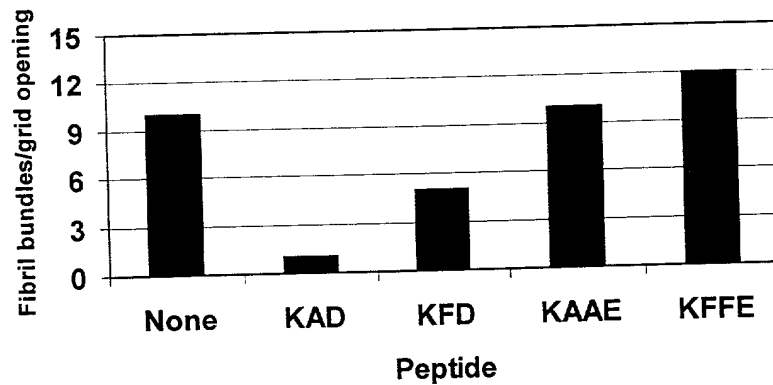


FIG. 7

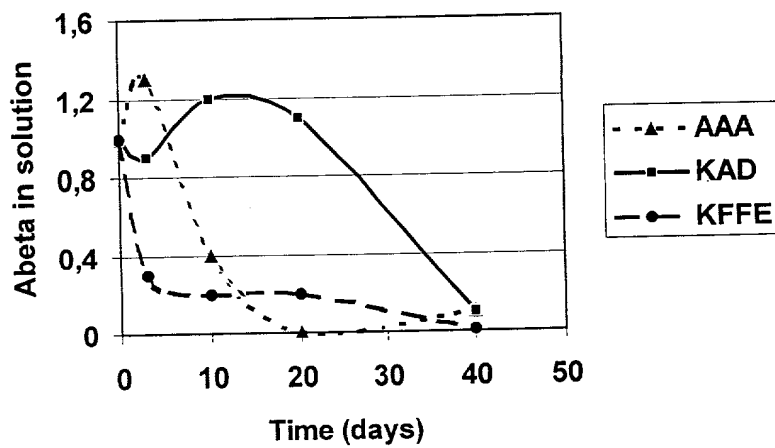
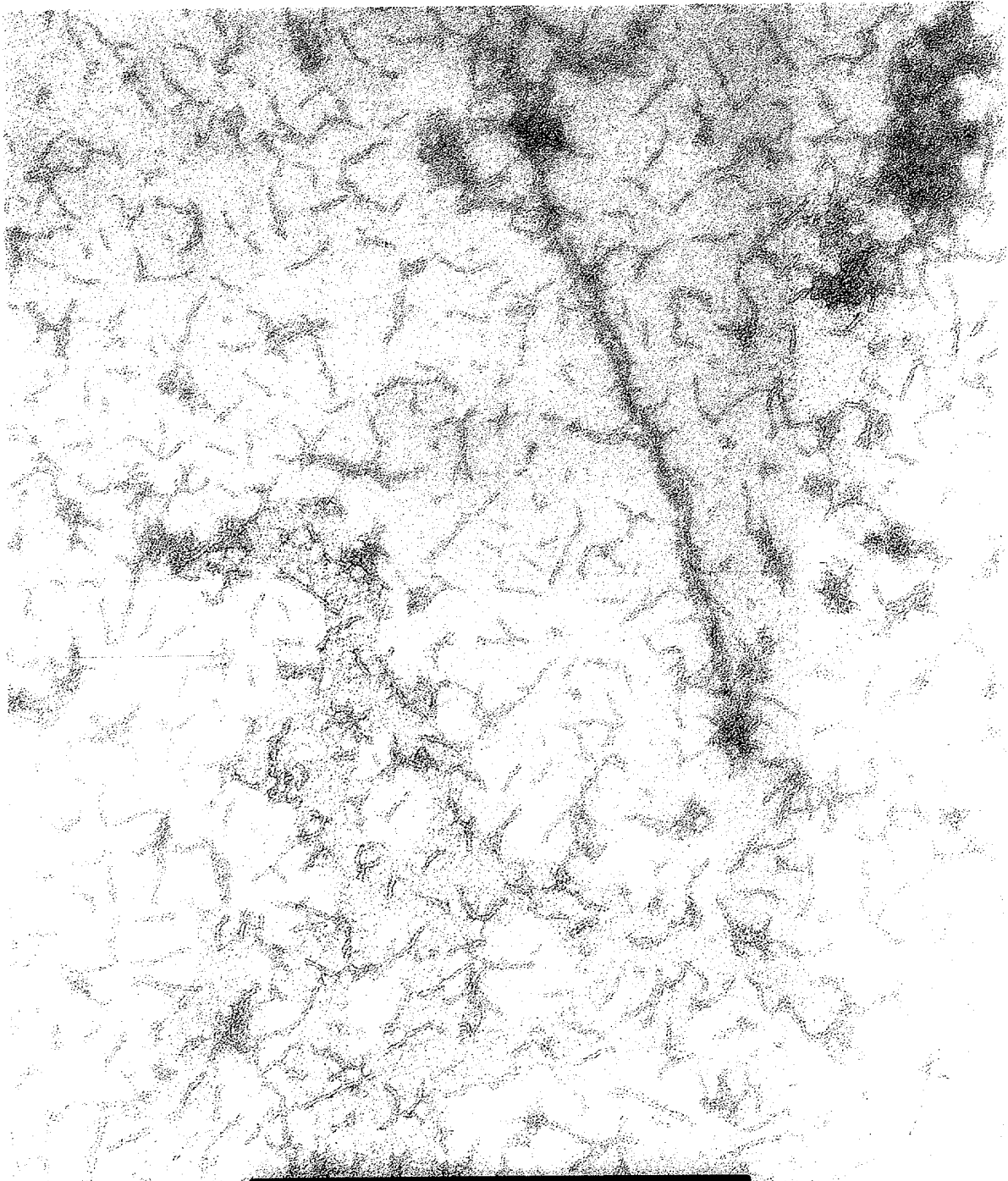


FIG. 8



FIG. 9A

209T40" 2488850



200nm |—————|  
45.0K 00-06-02 0638  
000530 Ab (1-40) + KAD

FIG. 9B



209T40" 24888660

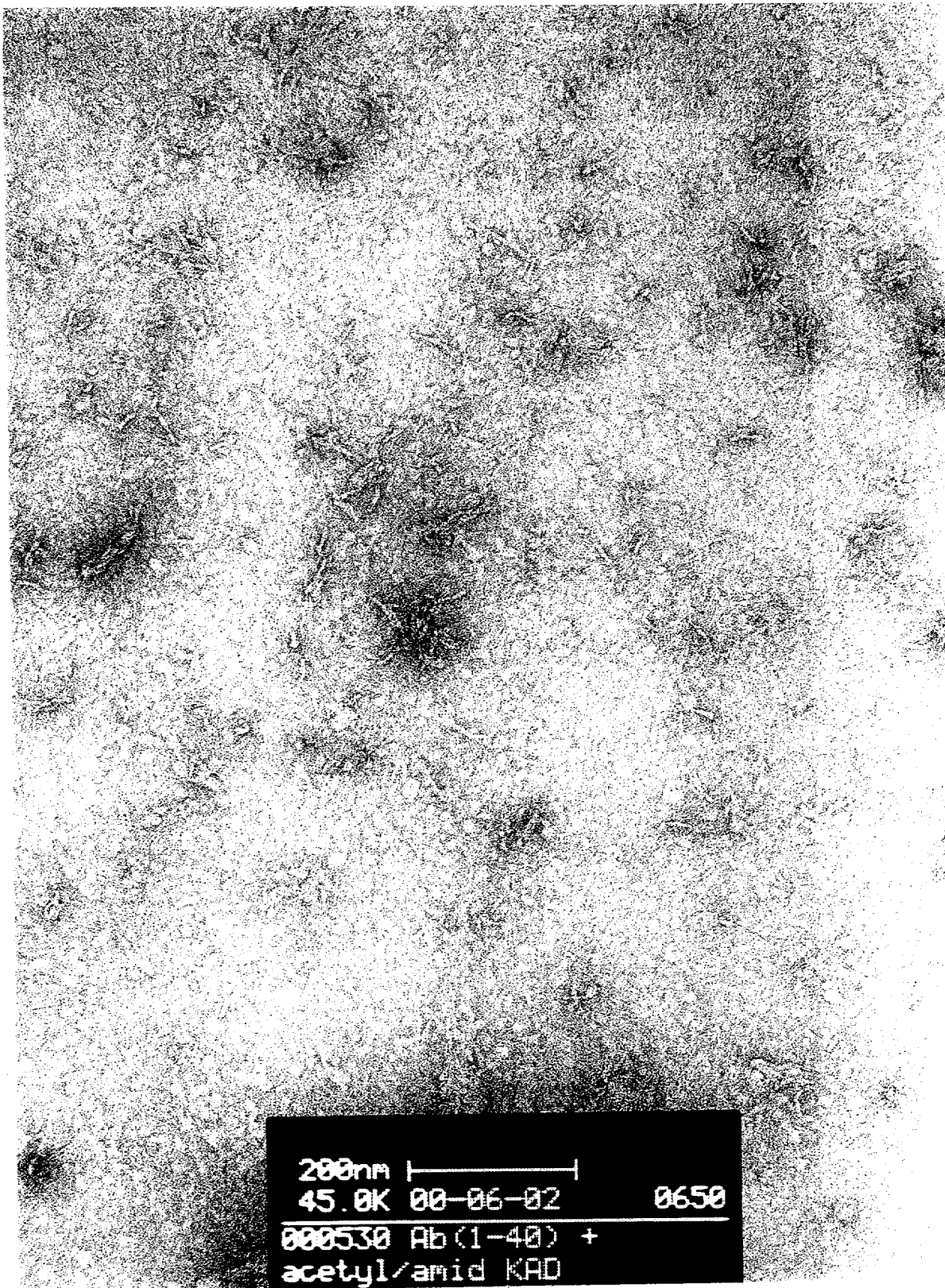
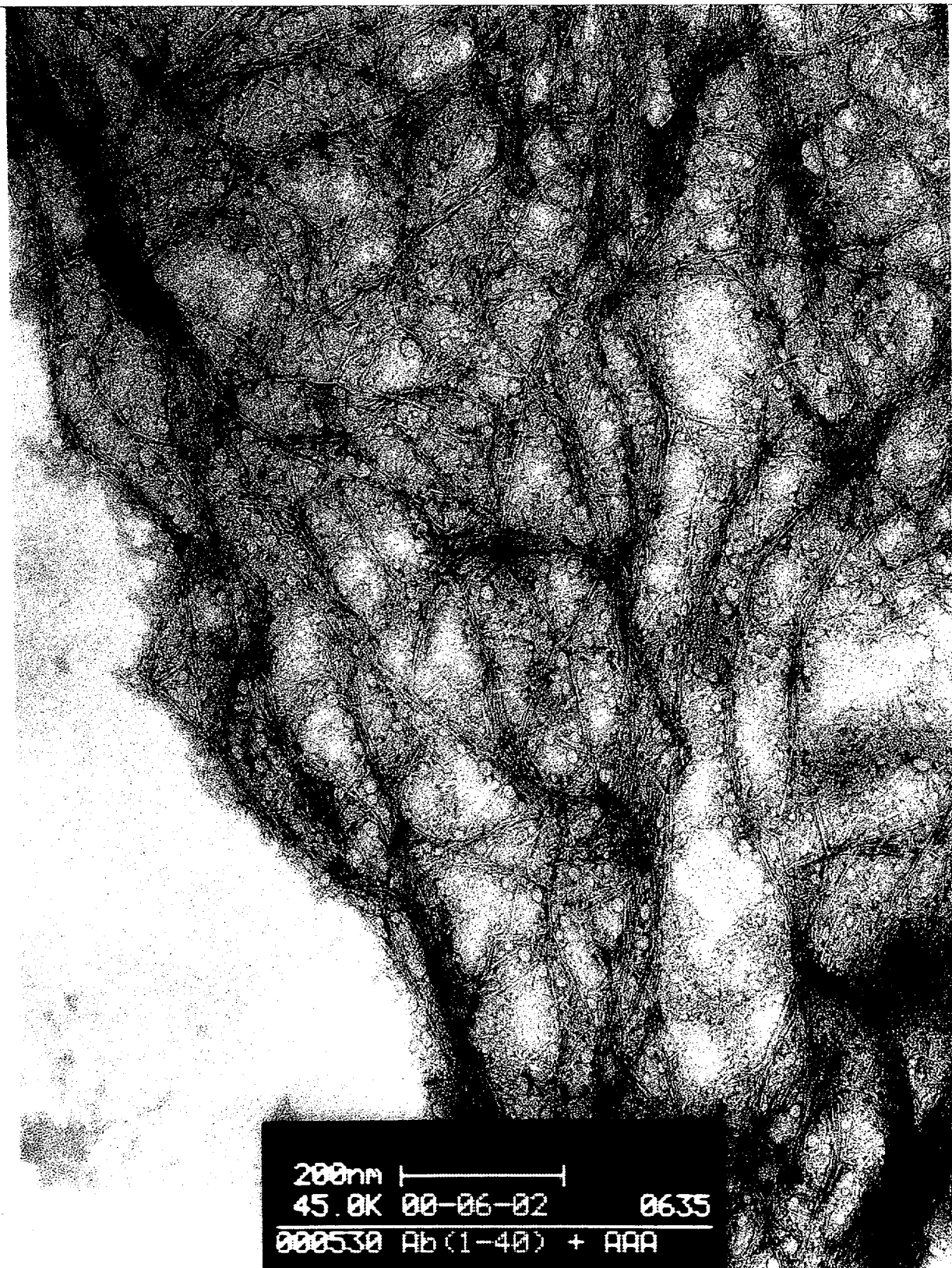


FIG. 9C



**FIG 9D**

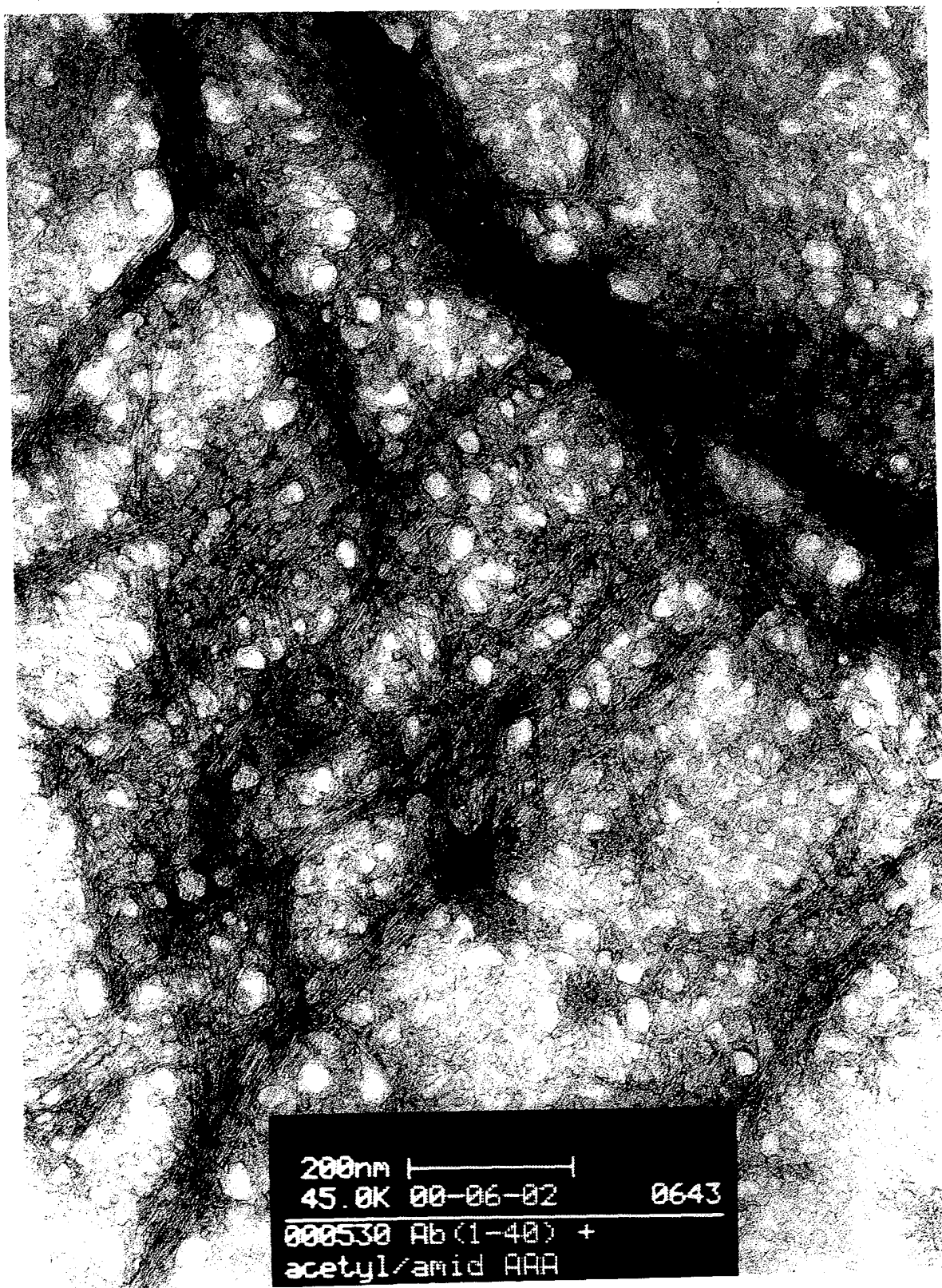
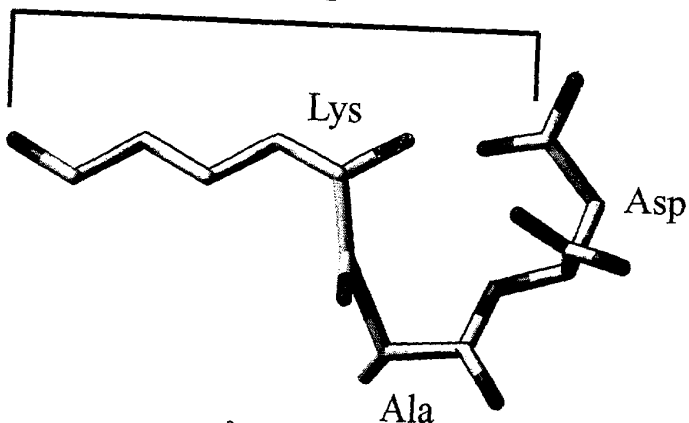


FIG. 9E



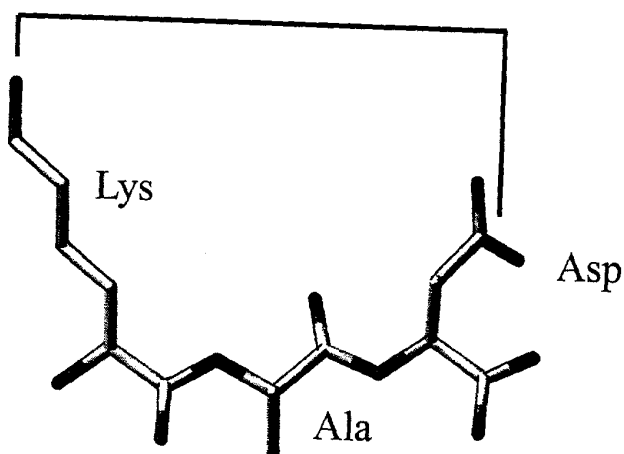
**KAD**

10.1 Å

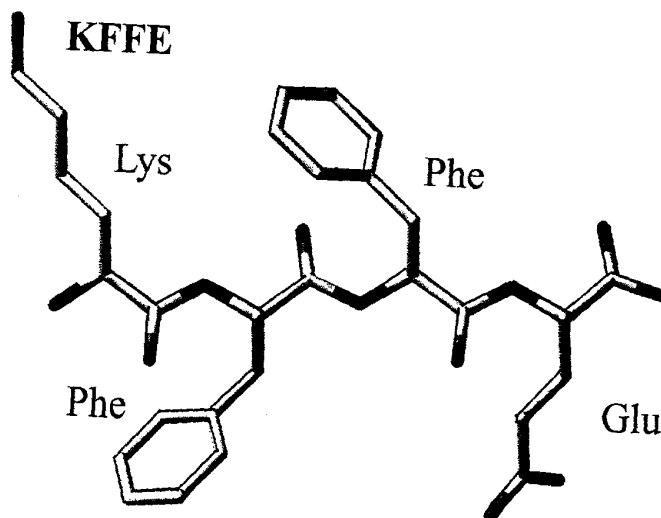


**KAD**

11.1 Å



**KFFE**



**FIG. 10**

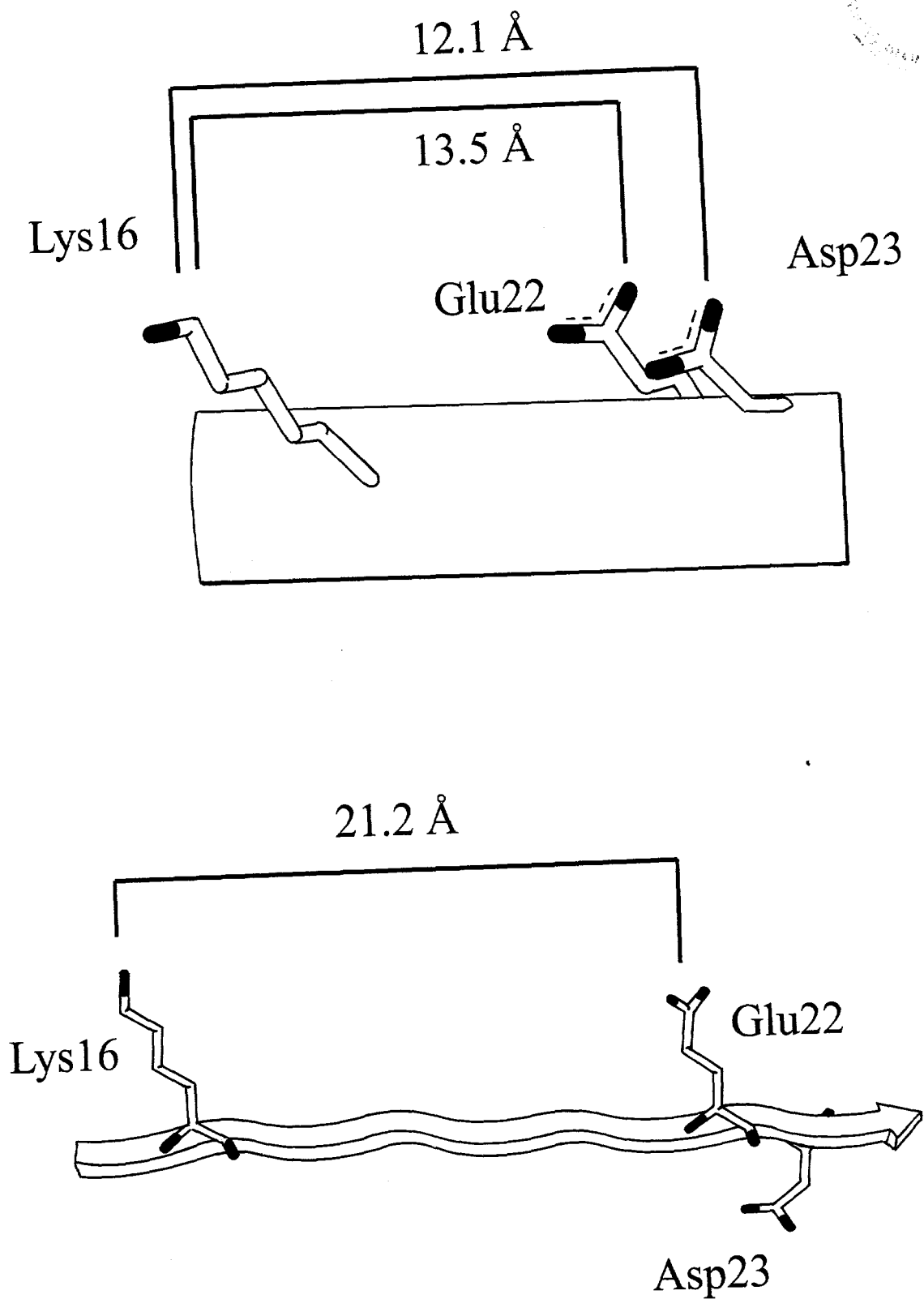


FIG. 11

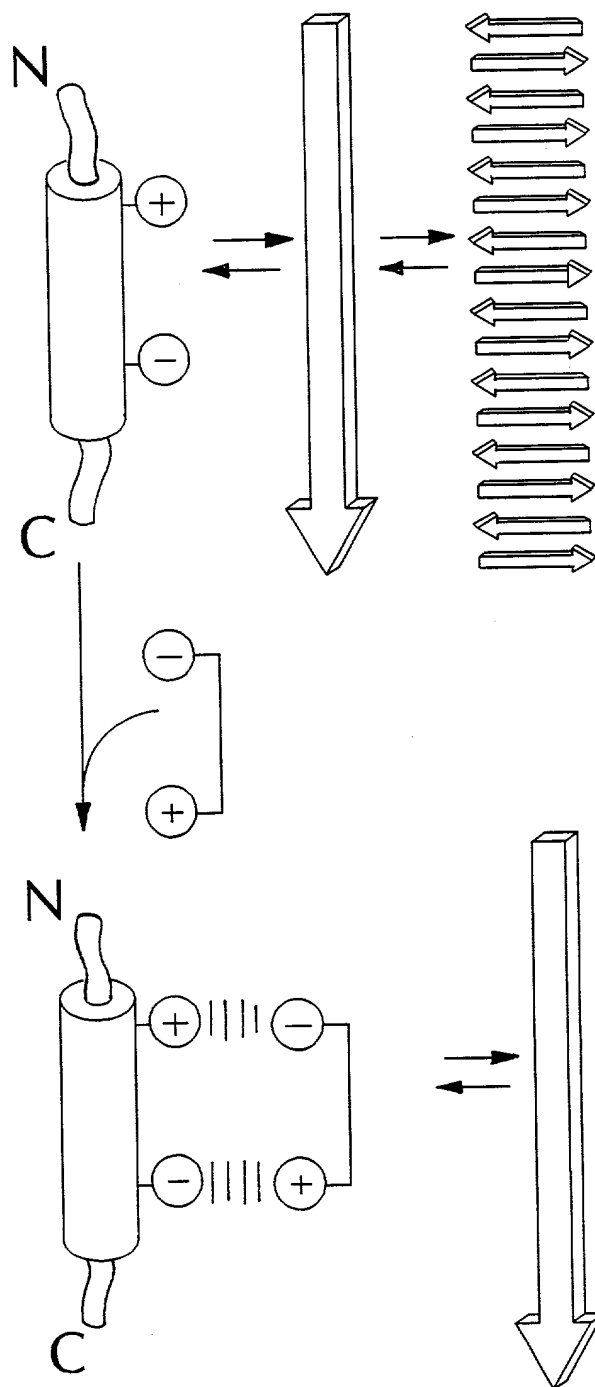


FIG. 12

09988842 044388660